

Seconde occurrence de killalaite dans un skarn de la région de Güneyce-Ikizdere (Pontides orientales, Turquie)

Autor(en): **Sarp, Halil / Deferne, Jacques / arman, Engin**

Objektyp: **Article**

Zeitschrift: **Archives des sciences et compte rendu des séances de la Société**

Band (Jahr): **35 (1982)**

Heft 3

PDF erstellt am: **22.07.2024**

Persistenter Link: <https://doi.org/10.5169/seals-740567>

Nutzungsbedingungen

Die ETH-Bibliothek ist Anbieterin der digitalisierten Zeitschriften. Sie besitzt keine Urheberrechte an den Inhalten der Zeitschriften. Die Rechte liegen in der Regel bei den Herausgebern.

Die auf der Plattform e-periodica veröffentlichten Dokumente stehen für nicht-kommerzielle Zwecke in Lehre und Forschung sowie für die private Nutzung frei zur Verfügung. Einzelne Dateien oder Ausdrucke aus diesem Angebot können zusammen mit diesen Nutzungsbedingungen und den korrekten Herkunftsbezeichnungen weitergegeben werden.

Das Veröffentlichen von Bildern in Print- und Online-Publikationen ist nur mit vorheriger Genehmigung der Rechteinhaber erlaubt. Die systematische Speicherung von Teilen des elektronischen Angebots auf anderen Servern bedarf ebenfalls des schriftlichen Einverständnisses der Rechteinhaber.

Haftungsausschluss

Alle Angaben erfolgen ohne Gewähr für Vollständigkeit oder Richtigkeit. Es wird keine Haftung übernommen für Schäden durch die Verwendung von Informationen aus diesem Online-Angebot oder durch das Fehlen von Informationen. Dies gilt auch für Inhalte Dritter, die über dieses Angebot zugänglich sind.

SECONDE OCCURENCE DE KILLALAITÉ
DANS UN SKARN
DE LA RÉGION DE GÜNEYCE-İKİZDERE
(PONTIDES ORIENTALES, TURQUIE)

PAR

Halil SARP¹, Jacques DEFERNE¹ et Engin ŞARMAN²

SUMMARY

A second occurrence of killalaite has been found near Güneyce-Ikizdere, Trabzon County, Turkey. Killalaite occurs in skarn produced by granitic intrusion in Cretaceous limestone. Associated with killalaite are hillebrandite, tobermorite, a still unknown mineral, defernite, garnet, vesuvianite and calcite. All properties agree with those described by NAWAZ (1974) for killalaite from Killala Bay, Ireland.

INTRODUCTION

La killalaite est un silicate de calcium hydraté décrit pour la première fois par NAWAZ (1974) dans des calcaires ayant subi un métamorphisme de contact dû à la mise en place de dykes de basaltes doléritiques dans la baie de Killala, près de Inishcrone, Co. Sligo, en Irlande. La formule chimique proposée par NAWAZ est $\text{Ca}_{3.2}(\text{H}_{0.6}\text{Si}_2\text{O}_7)(\text{OH})$.

Nous avons découvert un second gisement de killalaite dans la région de Güneyce-Ikizdere située au Sud de Rize dans les Pontides orientales en Turquie. Le gisement se trouve à un kilomètre au NW du petit village de Varda Yaylası dans une zone de métamorphisme thermique dû au contact d'une intrusion granitique dans les calcaires du Crétacé inférieur. Ces roches, signalées par TANER (1977), font l'objet d'une publication détaillée (SARP *et al.*, 1982).

En 1981, un échantillonnage systématique de la région nous a permis de mettre en évidence la présence de killalaite dans un des échantillons. Ce minéral s'est développé aux dépens de la spurrite et de la rustumite, minéraux primaires dont il ne reste plus que quelques reliques et fantômes assez rares. Les autres minéraux de

¹ Muséum d'Histoire naturelle, 1, route de Malagnou, CH-1211 Genève 6.

² M.T.A. Enstitüsü, Maden Etüd Subesi, Ankara, Turquie.

métamorphisme rétrograde associés à la killalaïte sont l'hillebrandite, un minéral encore non identifié, la tobermorite, la defernite (SARP *et al.*, 1980), le grenat, la vésuvianite et la calcite. On rencontre encore quelques grains de molybdénite.

PROPRIÉTÉS OPTIQUES ET PHYSIQUES

La killalaïte se distingue assez aisément des minéraux qui l'accompagnent par son extinction qui se fait par secteurs. Elle est allotriomorphe et sa taille ne dépasse pas 0.3 mm. Les sections allongées laissent apparaître un clivage parallèle à l'allongement. Certaines sections montrent une extinction oblique $\gamma \wedge c = 16 - 19^\circ$. Les indices de réfractons sont $\alpha = 1.634$, $\beta = 1.646$ et $\gamma = 1.648$. $2V_{\alpha \text{ calc.}} = 38^\circ$. La densité mesurée dans la liqueur de Clerici est de 2.9 g/cm³.

RADIOCRISTALLOGRAPHIE

Le diagramme de poudre a été obtenu à partir d'un grain prélevé dans une lame mince et monté sur une caméra de Gandolfi. Le même grain a été monté ensuite sur une caméra de précession afin de vérifier les paramètres de la maille élémentaire. C'est ainsi que nous avons pu mesurer une maille dont les paramètres sont:

$$a = 6.80 \text{ \AA}$$

$$b = 15.47$$

$$c = 6.82, \beta = 98.3^\circ, \text{ groupe d'espace } P2_1/m$$

Ces résultats sont identiques aux valeurs données par NAWAZ (1974), (ASTM 26-1070) et TAYLOR (1977) (ASTM 29.332), à l'exception de l'angle β que nous trouvons un peu plus grand de 0.54° .

Le tableau I montre la comparaison des distances réticulaires hkl calculées et observées ainsi que les intensités estimées.

COMPOSITION CHIMIQUE

Le même grain qui a servi aux études radiocristallographiques a été monté dans un microscope électronique équipé d'un analyseur P.G.T. à dispersion d'énergie. Seuls Ca et Si ont été détectés et aucun élément de poids atomique supérieur à celui de Na n'a pu être mis en évidence. Nous n'avons pas effectués d'analyse quantitative.

TABLE I : Comparaison des données radiocristallographiques observées et mesurées de la Killalaïte de Güneyce-Ikizdere pour $a = 6.80$, $b = 15.47$, $c = 6.82$ Å, $\beta = 98.3^\circ$ et sp.gr.P2₁,m.

hkl	d _{calc.}	d _{mes.}	I _{est.}	hkl	d _{calc.}	d _{mes.}	I _{est.}	hkl	d _{calc.}	d _{mes.}	I _{est.}
020	7.735	7.75	10	202				35 $\bar{1}$	1.807		
001	6.749			15 $\bar{2}$	2.227			181	1.774		
100	6.729	6.75	10	30 $\bar{1}$				203	1.757	1.767	5
021	5.085			013	2.226	2.226	<5	302	1.755		
120	5.077	5.10	15	25 $\bar{1}$	2.225			172	1.748		
11 $\bar{1}$	4.887	4.90	<5	310	2.220			271	1.747	1.748	10
121	4.288			023	2.160	2.170	<5	213	1.745		
111	4.280	4.298	<5	320	2.154			312	1.744		
040	3.868			12 $\bar{3}$	2.145	2.154	<5	30 $\bar{3}$	1.717		
121	3.860	3.890	20	071	2.100			223	1.713	1.710	5
002	3.374			170		2.100	5	322	1.711		
131	3.371	3.387	35	152	2.098			153	1.707		
200	3.364			251	2.097			114	1.685		
012	3.297			13 $\bar{3}$	2.049			25 $\bar{3}$		1.681	25
210	3.288	3.306	10	062				35 $\bar{2}$	1.683		
10 $\bar{2}$	3.208			260	2.047	2.041	10	400	1.682		
20 $\bar{1}$	3.201	3.210	25	103				41 $\bar{1}$	1.681		
14 $\bar{1}$				232	2.045			024	1.648		
022	3.093			33 $\bar{1}$	2.044			420	1.644	1.638	10
220	3.085	3.099	50	301	2.042			19 $\bar{1}$	1.631		
12 $\bar{2}$	2.963			17 $\bar{1}$	2.031			33 $\bar{3}$	1.629		
22 $\bar{1}$	2.958	2.960	<5	113	2.029	2.020	<5	134	1.610	1.627	10
102	2.856	2.866	<5	311	2.025			43 $\bar{1}$	1.606		
201	2.851			16 $\bar{2}$	2.009			281	1.600		
032	2.824	2.845	100	20 $\bar{3}$				243		1.599	
13 $\bar{2}$	2.724			26 $\bar{1}$	2.008			430			
23 $\bar{1}$	2.720	2.730	40	30 $\bar{2}$	2.006			342	1.598	1.590	<5
122	2.679			21 $\bar{3}$	1.992	1.980	15	214	1.595		
221	2.675	2.673	<5	31 $\bar{2}$	1.990			41 $\bar{2}$	1.592		
15 $\bar{1}$	2.652			171	1.980			34 $\bar{3}$			
060	2.578			25 $\bar{2}$				272	1.569		
20 $\bar{2}$	2.576	2.575	40	123	1.978			37 $\bar{1}$		1.562	<5
042	2.543			321	1.974			42 $\bar{2}$	1.567		
151				043	1.945			144	1.553		
21 $\bar{2}$	2.541	2.531	<5	22 $\bar{3}$	1.944	1.951	5	124	1.551		
240	2.538			32 $\bar{2}$	1.942			290	1.531		
14 $\bar{2}$	2.469	2.471	15	340	1.940			43 $\bar{2}$	1.529		
24 $\bar{1}$	2.466			080	1.934	1.925	10	253	1.528	1.520	<5
22 $\bar{2}$	2.444	2.448	<5	14 $\bar{3}$				352	1.526		
16 $\bar{1}$	2.306			34 $\bar{1}$	1.930			19 $\bar{2}$	1.515		
23 $\bar{2}$	2.304			23 $\bar{3}$	1.872	1.870	<5	333	1.427		
142	2.297	2.312	35	33 $\bar{2}$	1.870			42 $\bar{3}$		1.425	30
241	2.295			350	1.816			402	1.426		
052	2.280			15 $\bar{3}$	1.810	1.812	10	254	1.424		
250	2.277	2.269	10	18 $\bar{1}$				214	1.422		
003	2.250			143	1.809			45 $\bar{2}$			
300	2.243	2.240	35	252	1.808						

plus une dizaine de raies de faible intensité

A titre indicatif nous reproduisons l'analyse originale de NAWAZ (1974) faite sur la Killalaïte de Killala Bay:

CaO 57.0
SiO₂ 39.8
H₂O 3.2 (par différence)

ce qui correspond à la formule Ca_{3.2}(H_{0.6}Si₂O₇)(OH).

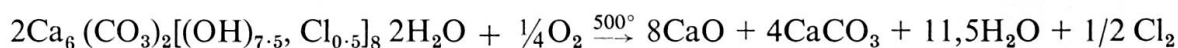
CONCLUSION

Les propriétés optiques, physiques, radiocristallographiques ainsi que l'analyse qualitative nous confirment que le minéral étudié est bien de la killalaïte.

La killalaïte originale décrite par NAWAZ (1974) est accompagnée d'afwillite. Cet auteur estime que la killalaïte s'est formée entre 350° et 550° d'une manière hydrothermale dans un environnement déficitaire en CO₂.

Dans notre cas la présence d'hillebrandite, tobermorite et vésuvianite indique des conditions de métamorphisme rétrograde et ces minéraux se sont certainement formés dans un environnement déficitaire en CO₂ et peut-être bien dans l'intervalle de températures indiqué par NAWAZ.

Dans ce faciès nous trouvons aussi de la defernite en petite quantité et nos expériences ont montré que ce minéral chauffé à 500° pendant 24 heures se transforme en calcite et chaux vraisemblablement suivant la réaction :



Cette observation confirme donc les températures citées ci-dessus.

REMERCIEMENTS

Nous remercions le Service géologique de Turquie (M.T.A.) de l'aide qu'il nous a apportée pour nous rendre sur le terrain. Nous remercions également le Directeur du Service de M.T.A. à Trabzon pour son accueil chaleureux et son appui logistique.

BIBLIOGRAPHIE

- NAWAZ, R. (1974). Killalaïte, a new mineral from Co. Sligo, Ireland. *Min. Mag.* 39, 544-548.
- SARP Halil, F. Mehmet TANER, Jacques DEFERNE, Hélène BIZOUARD et Bernard W. LIEBICH (1980). La defernite, Ca₆(CO₃)₂(OH, Cl)₈ · nH₂O, un nouveau carbonate chloro-hydroxylé. *Bull Minéral.*, 103, 185-189.
- SARP, Halil, Jacques DEFERNE et Engin SARMAN (1982). Métamorphisme polythermal de Güneyce-Ikizdere (Pontides orientales, Turquie) et quelques précisions sur les conditions de formation de la defernite. *Arch. Sc.*, Genève, 35, 279-288.
- TANER, Mehmet F. (1977). Etude géologique et pétrographique de la région de Güneyce-Ikizdere située au Sud de Rize (Pontides orientales, Turquie). Thèse n° 1788, Université de Genève.